

る。

3. 実験結果と数値計算結果の比較

本研究で用いた実験データは、著者らが以前行った実験で得たものである。それは、水深が 50 cm, 30 cm および 15 cm の一定水深領域を伝播する sin 型波群および soliton 型波群の変形を、3 m おきに設置した 6 台の容量式波高計で測定したものである。実験装置および実験方法についての詳細は、文献 4) を参照されたい。

図-1 は、 $(ka)_{\max} = 0.18$, $kh = 4.53$ である sin 型波群の伝播変形の実験結果 ((a) 図) と計算結果 ((b) ~ (d) 図) を示したものである。 (b) 図は粘性摩擦を全く考えない場合、(c) 図は底面摩擦のみを考慮した場合、(d) 図は底面と側壁における粘性摩擦を考慮した場合の NLS 方程式の計算結果である。

図-1 (b)においては、 $x \geq 6$ m で実験結果より包絡振幅の値が大きくなっているおり、 $x=15$ m の地点で実験結果と比べ約 50% 大きい。また、 $x \geq 12$ m で波群の分裂に関して、両者に差が見られる。すなわち、計算結果は x

=12 m すでに分裂が起こっており、 $x=15$ m では分裂した波群が合体する傾向にあるのに対し、実験結果は $x=12$ m で波群の分裂が始まり、 $x=15$ m で分裂が進んでいる点が異なる。(c) 図の底面摩擦を取り入れた計算においても、計算結果は (b) 図とほとんど同じである。このケースは $kh = 4.53$ と深海の条件に相当しており、底面摩擦の効果が現れないためである。(d) 図の底面および側壁での摩擦の効果を取り入れた場合の計算結果は、波群の分裂に関してても実験結果とかなりよく一致している。このことは、波群の分裂の抑制および振幅の減衰に対して側壁摩擦の影響が重要であることを意味している。

図-2 および 3 は、搬送波の周波数が 1.2 Hz の soliton 型波群の伝播変形の実験結果 ((a) 図) と、底面摩擦だけを考慮した場合の包絡波形の計算結果 ((c) 図)、側壁における摩擦も考慮した場合の計算結果 ((d) 図) および (d) 図に示された包絡波形を用いて計算される 2 次のオーダーの水位変動 ((b) 図) を示したものである。

図-2 は $(ka)_{\max} = 0.18$, $kh = 2.92$ の場合であり、包

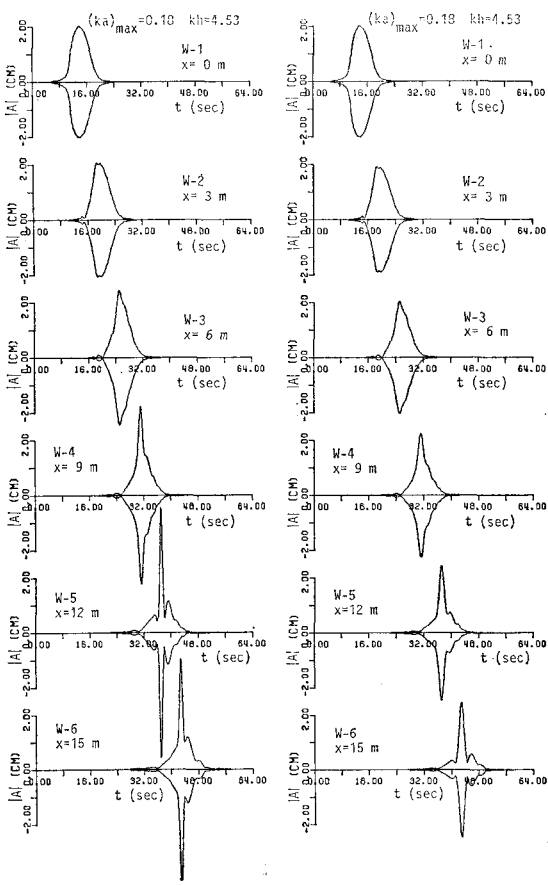
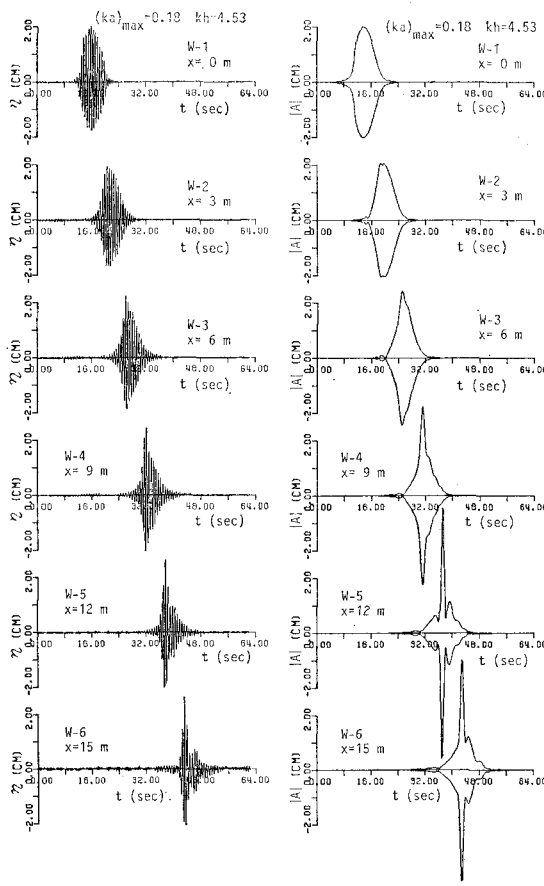


図-1 sin 型波群の伝播変形の実験結果 ((a) 図) と包絡波形の計算結果 ((b) 図: 粘性摩擦を考慮しない場合、(c) 図: 底面摩擦を考慮した場合、(d) 図: 底面摩擦と側壁摩擦を考慮した場合)

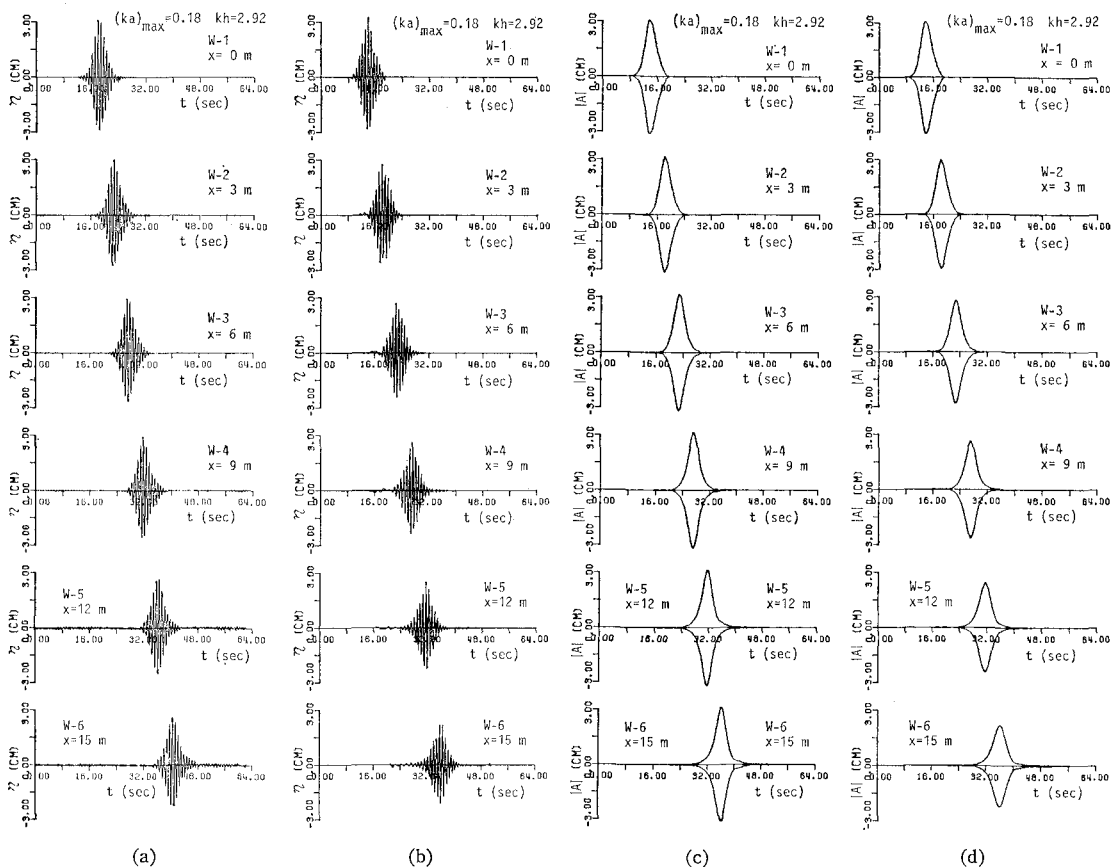


図-2 soliton 型波群の伝播変形の実験結果 ((a) 図) と計算結果 ((b) 図: (d) 図を用いて得られる 2 次のオーダーの水位変動, (c) 図: 底面摩擦を考慮した場合の包絡波形, (d) 図: 底面摩擦と側壁摩擦を考慮した場合の包絡波形)

綱ソリトンが安定に伝播するかどうか確かめるため行ったものである。包絡波形は摩擦減衰のため、若干小さくなつて行くが、その形状はほとんど変化しない。このケースは深海の条件に近いため、(c) 図の結果は摩擦を全く考慮しない計算結果とほとんど変わらず、また $x=15$ m の地点で約 20% 実験結果より大きくなっている。側壁における摩擦も考慮した計算結果は、 $x=15$ m 地点で約 10% 実験結果より小さくなるが、両者の一致の程度は良好である。これは、水位変動を示した (a) 図と (b) 図の比較からも確められる。

図-3 は $(ka)_{\max}=0.23$, $kh=1.09$ の場合である。このケースは浅海の条件となっており、(c) 図の結果は摩擦を全く考慮しない計算結果に比べ、 $x=15$ m の地点で約 16% 減少している。しかし、この計算結果は実験結果と比べてまだ大きくなつておらず、 $x=15$ m の地点で約 30% 大きい。(d) 図の底面摩擦に加え側壁摩擦も考慮した計算結果は、実験結果とよく一致している。

計算結果と実験結果との比較から、両者が最もよく一致したのは、式 (26) の左辺第4項に $(1+1/\psi_1)$ をかけた場合であった。すなわち、線形の層流境界理論によっ

て底面および側壁における粘性摩擦を考慮した場合であった。層流境界層の非線形性を考慮した場合の計算結果は、図-1 から 3 の (d) 図のそれに比べ、 $x=15$ m の地点で最大で 6% 小さくなり、実験結果との差が広がる傾向にある。

規則波の波高減衰については、線形理論の結果に基づいて、側壁での摩擦の効果を含めて検討されており、その結果、波高減衰率の実験結果は理論結果よりかなり大きいことが示されている⁷⁾。しかし、单一波群の包絡波形の振幅減衰については、NLS 方程式に線形境界層理論に基づいた摩擦項を取り入れれば、実験結果をかなりよく説明できる。

4. あとがき

本研究は、まず Liu (1986) の方法を利用して、NLS 方程式に底面における粘性摩擦の効果を表す項を取り入れ、次に側壁における摩擦の効果も考慮する方法を示した。また、波群の伝播変形に関する数値計算結果と実験結果を比較し、粘性摩擦項が入った非線形 Schrödinger 方程式の妥当性を確かめるとともに、粘性摩擦は波群の

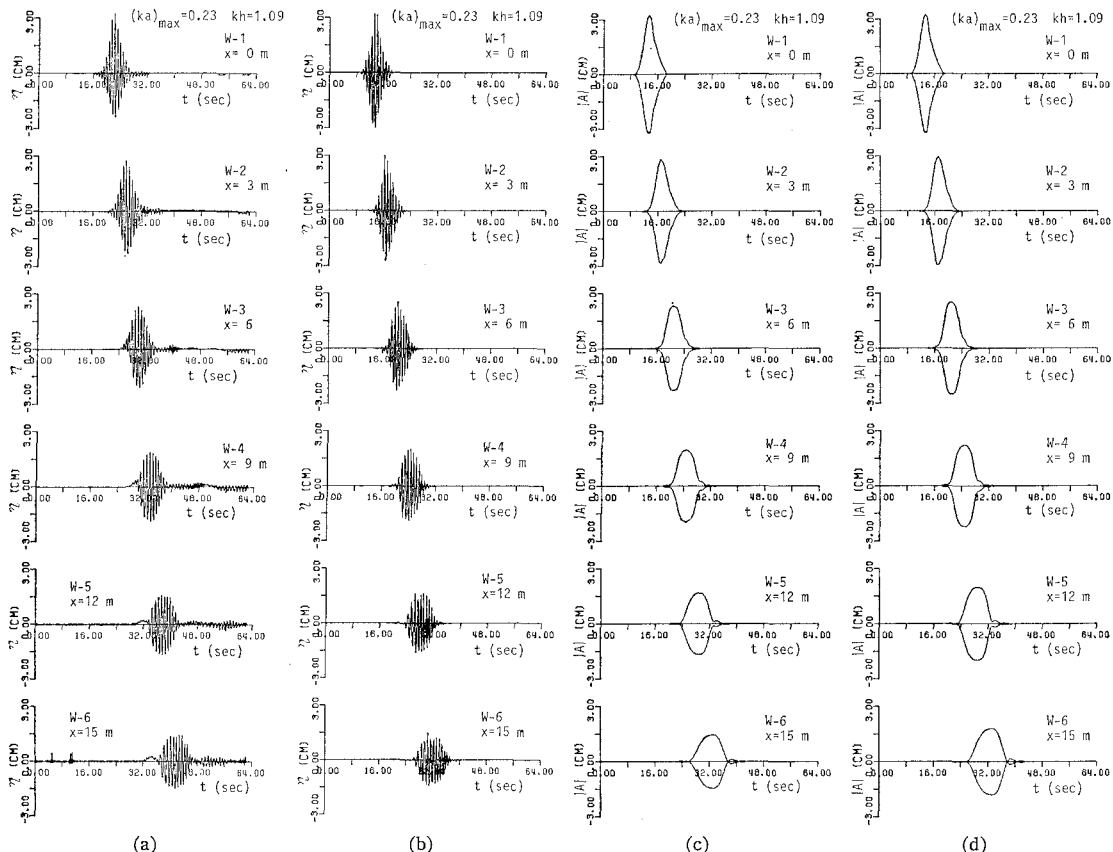


図-3 soliton 型波群の伝播変形の実験結果 ((a) 図) と計算結果 ((b) 図: (d) 図用いて得られる 2 次のオーダーの水位変動, (c) 図: 底面摩擦を考慮した場合の包絡波形, (d) 図: 底面摩擦と側壁摩擦を考慮した場合の包絡波形)

分裂の抑制および振幅減衰に重要な役割を果たすことを示した。

最後に、本研究は文部省科学研究費奨励研究 (A) による研究の一部であることと付記して謝意を表する。

参考文献

- 1) Mase, H. and Y. Iwagaki: Wave group analysis of natural wind waves based on modulation instability theory, Coastal Eng., Vol. 10, pp. 341~354, 1986.
- 2) Mase, H. and Y. Iwagaki: Evolution of wave groups in shallow water and wave group properties of random waves, Coastal Eng. in Japan, Vol. 30, No. 1, 1987 (in print).
- 3) 間瀬 肇・古室健史・岩垣雄一: 伝播に伴う Wave Group 特性の変化, 第 31 回海岸工学講演会論文集, pp. 158~162, 1984.
- 4) 間瀬 肇・古室健史・岩垣雄一: 単一波群の非線形伝播変形とうねりの波群構造, 第 32 回海岸工学講演会論文集, pp. 189~193, 1985.
- 5) Liu, P. L.-F.: Viscous effects on evolution of Stokes waves, Jour. Waterway, Port, Coastal and Ocean Eng., Vol. 112, No. 1, pp. 55~63, 1986.
- 6) 岩垣雄一・土屋義人・坂井順行: 海底摩擦による波高減衰の基礎的研究 (2)——底面摩擦力の測定について——, 第 11 回海岸工学講演会講演集, pp. 62~68, 1964.
- 7) 岩垣雄一・土屋義人・陳 活雄: 海底摩擦による波高減衰の基礎的研究 (3)——層流境界層方程式の非線型項の影響について——, 第 12 回海岸工学講演会講演集, pp. 41~49, 1965.
- 8) Mei, C. C.: The Applied Dynamics of Ocean Surface Waves, Wiley-Interscience, Chapter 12, 1983.